

II-39 摩擦ゲイの支持力とその測定方法について

京都大学工学部 正員。村山朔郎
同 準員 柴田徹

軟弱粘土層中に打込まれた摩擦ゲイの沈下及び支持力特性をレオロジー的考察によって究明し、降伏支持力の新測定法を提案した。さらにこれら成果を模型実験で検査した後、実物大試験に適用して諸特性を明らかにし、またクイ打込み後の経過時間とともに降伏支持力がいかに推移するかを調べた。

1. 模型実験の概要

摩擦ゲイに関する各種の実験を行つたために、鋼板製円筒型土槽（内径55cm、高さ85cm）中に大阪湾の粘土層より採取した粘土を70cm深さに詰めたものを数個準備した。土槽に粘土を詰める際に粘土は完全に乱れた状態に近くなるため、填充後約3ヶ月間静置して強度回復をまつた結果、実験の際には強度は $C=0.07 \text{ kg/cm}^2$ を持続し、平衡状態を保つていた。摩擦ゲイには真鍮製円筒型の模型ゲイを製作し、そのクイ先は先端角30°の円錐状とした。クイ径は1, 2, 3, 4cmの4種類（クイ長はいずれも50cm）を使用し、クイの打込みにはguide付きの落錘(400kg)を20cmの高さよりクイ頭に自然落下させて行った。

2. 一定荷重を載荷したクイの沈下量～時間関係

径4cmクイに一定荷重を100分間載荷して沈下量～時間の関係を観測した。この関係は時間と対数とにとると図-1に示すごとく荷重5kg以下では直線関係にあり、しかもその直線の勾配は荷重とともに増加するので、摩擦ゲイの沈下現象は粘土のクリープに起因するものと考えられる。この考察に基づき、図-1の直線の勾配と荷重の関係をプロットして図-2を求めるところはいわゆる流動曲線である。この曲線の折点とて上限降伏値(5kg)を、またこの曲線の横軸の交点とて下限降伏値(0.2kg)を見出すことができる。粘土の上限降伏値は粘土を破壊させ持続性荷重の中の最小をもってして粘土の降伏応力となること同様に、クイ

図-1

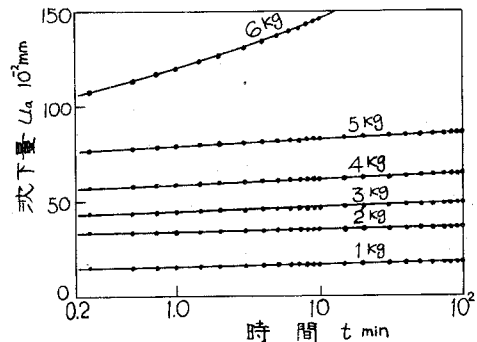


図-2

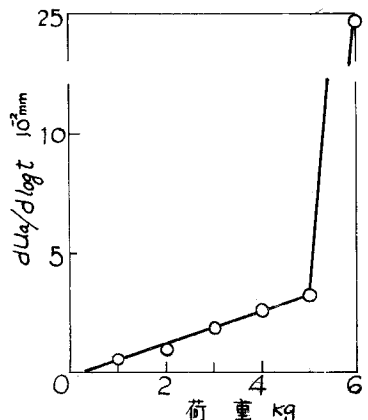
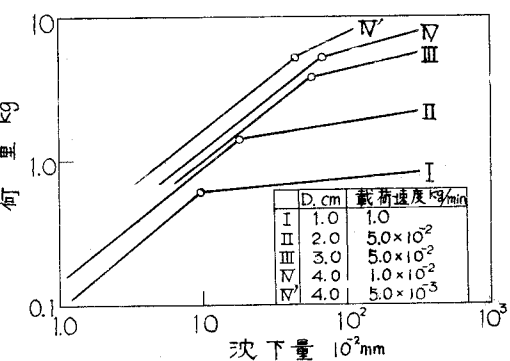


図-3



の一足荷重載荷試験の際に観察されるこのような上限降伏値はクイの降伏支持力を与えるもろといふことができる。次に一足荷重載荷時ににおけるクイの沈下の経時特性に関して、圧縮クリープの関係を応用して理論的考察を試みた結果、クイの沈下量 U_a は

$$U_a = \frac{P}{2\pi G} \log \frac{b}{a} + \left\{ \frac{P}{2\pi G} \log \frac{b}{a} - T_0(b-a) \right\} \left(\frac{1}{G_2} + \frac{1}{B_2 G_2} \log A_2 B_2 G_2 t \right) \quad \dots \dots (1)$$

ここに P ; 載荷荷重, ℓ ; 貫入深さ, a ; クイ半径, b ; 影響半径, G ; 粘土セシ断弾性係数, T_0 ; 下限降伏値, $A_2 B_2$; レオロジー常数となり、沈下量と時間(対数)関係が直線になることを説明できる。また式(1)より直線の勾配を求めると

$$\frac{dU_a}{dt} = \frac{P}{2\pi \ell} \frac{1}{B_2 G_2} \log \frac{b}{a} - \frac{T_0}{B_2 G_2} (b-a) \quad \dots \dots (2)$$

となり、図-2の実験における上限降伏値以下の荷重範囲の挙動を理論的に説明することができる。

3. 減増荷重によるクイの載荷試験

4種類のクイ径をもつ单ブレイク載荷試験(荷重制御方式)を行ひ、載荷速度を変えた場合についても検討した。図-3はクイの荷重へ沈下曲線を両対数紙上にプロットしたもので、直線のオイ折点に対応する荷重は、一例としてクイ径4cmの場合には図-2の流动曲線から求めた上限降伏値(5kg)と一致していることからも明らかのように、レオロジー的に重要な意味をもつた降伏支持力である。図-3にはクイ径4cmの場合における載荷速度を2種類に変えた結果も併記してあるが、降伏支持力はともに5kgとなって載荷速度による影響はうけないことがわかる。図-4は降伏支持力と、最終打込み時貫入抵抗との関係をプロットしたもので、両者の関係は直線とみなせることから、降伏支持力と最終打込み時の貫入量との積は鍔の位置エネルギーに比例する。

4. 実物大試験

軟弱粘土層中に打込まれた摩擦ゲイについて現地試験を実施した。一例として地表面下7.5m深さにクイを打込んだ後、荷重制御方式のクイの載荷試験を数回行ひて得た荷重へ沈下曲線を図-5に示す。この図から経過日数が多くなるほど極限支持力及び直線のオイ折点に対する降伏支持力は増加することがわかり、降伏支持力の推移は図-6に示すごく、粘土の強度回復曲線と類似の曲線が得られる。本研究は昭和32年度建設技術研究補助金によるもののが一部であり、また実験には逸見隆二君の協力を得た。

図-4

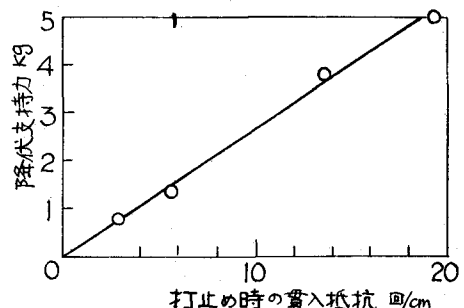


図-5

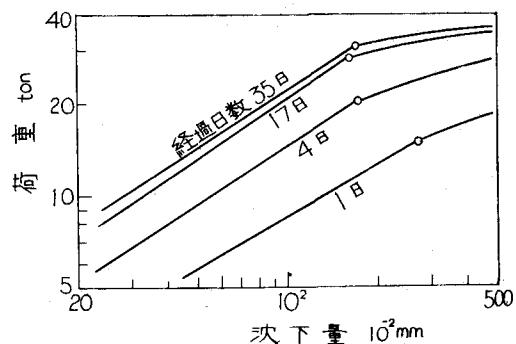


図-6

